

# 地球の熱史のシミュレーション

## 1. 地球の冷却とパラメータ化対流モデル

パラメータ化対流モデルを利用して、地球の冷却史を計算する方法を考える。基礎となる微分方程式を導出する。

### 1.1 マントル対流と地球の冷却

マントル対流は地球内部の熱によって駆動される熱機関の1つである。マントルや核の対流によって地球内部の熱は地球外へ排出される。このときの熱排出量はマントル対流の活動度によって決まり、マントル対流は、ウランなどの放射性元素の崩壊熱による熱よりも多くの熱を運ぶため、地球が徐々に熱を失い、冷えてゆく。

### 1.2 冷却のボックスモデルとパラメータ化対流論

図1のように地球を大陸地殻・マントル・核の3つに分け熱収支を考える。海洋地殻の体積は小さいので、ここではその影響を無視している。冷却を考えるには、地殻・マントル・核を熱の入った箱と考えて、そこからの熱の出し入れだけを考えれば良い。このようなモデルをボックスモデルという。

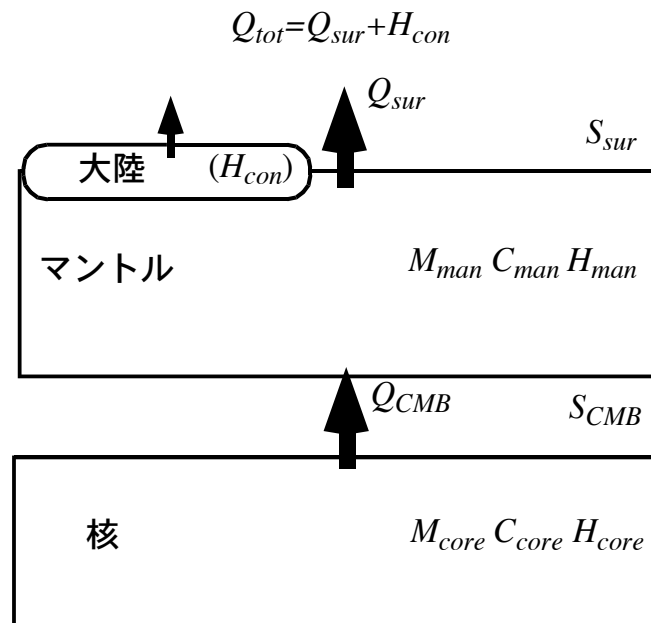


図1 地球のボックスモデル

ここで、 $M$ は質量、 $C$ は比熱を表し、添え字は大陸地殻(con)、マントル(man)、核(core)

を表す。また、 $Q$  は境界面からの熱流量 (熱の出入り)、 $S$  は面積を表し、添え字  $sur$  は表面、 $CMB$  は核・マントル境界を表す。マントルの熱収支を表す式は、

$$M_{man} C_{man} \frac{d\bar{T}_{man}}{dt} = -Q_{sur} + Q_{CMB} + H_{man} \quad (1)$$

ここで、 $\bar{T}_{man}$  はマントルの平均温度を、 $H_{man}$  は放射性元素の発熱量を表す。核については

$$M_{core} C_{core} \frac{d\bar{T}_{core}}{dt} = -Q_{CMB} + H_{core} \quad (2)$$

と表せる。ここではマントルの平均温度を、 $H_{core}$  は内核の固化により発生する熱を表す。

ボックスモデルを考えるとときに重要なのは熱の出し入れの量である。これらはマントル対流の活動度によって変わる量である。対流の活発さはレイリー数という無次元の量で表される。レイリー数は

$$Ra = \frac{\rho_0 \alpha \Delta T g h^3}{\kappa \eta} \quad (3)$$

である。ここで、 $\rho_0$  はマントルの平均密度、 $\alpha$  は熱膨張率、 $\Delta T$  は地表と CMB の温度差、 $g$  は重力加速度、 $h$  はマントルの厚さ、 $\kappa$  は熱拡散率、 $\eta$  は粘性率である。この中で、温度差は地球が冷えると小さくなる。一方、粘性率は

$$\eta = A \exp \left[ \frac{H^*}{R\bar{T}} \right] \quad (4)$$

のように表される。ここで、 $A$  は比例係数、 $\exp[x]$  は自然対数が底の指数関数  $e^x$ 、 $R$  は気体定数、 $H^*$  は活性化エンタルピーを表す。 $T$  は温度であり、(4)式は温度が低下すると粘性率は大きくなることを示している。つまり、地球が冷却するとレイリー数は小さくなり、このことは対流が徐々に活発でなくなっていくことを表している。

対流が不活発になると熱輸送量が低下し、熱の出入りが少なくなる。熱の出入りは、熱伝導率  $k$  を用いて

$$Q_{sur} = k \frac{\Delta T_{sur}}{\delta} S_{sur} \quad (5)$$

$$Q_{CMB} = k \frac{\Delta T_{CMB}}{\delta} S_{CMB} \quad (6)$$

と表せる。ここで、 $\Delta T_{sur}$  と  $\Delta T_{CMB}$  は地表と CMB の熱境界層の温度差を表す。 $\Delta T_{sur}$  は図 2 の  $T_M$  と  $T_s$  との差である。 $\delta$  は熱境界層 (図 2 の thermal boundary layer) の厚さで

あり、レイリー数  $Ra$  とパラメータ  $\beta$  を使って、

$$\delta = hBRa^{-\beta} \quad (7)$$

のように結びつけられている\*<sup>1</sup>。このように、複雑な現象を簡単な関係で表すことを**パラメータ化**と呼ぶ。ここで、 $B$  は比例係数である。指数  $-\beta$  はレイリー数、すなわち粘性率と熱輸送量との結合の強さを意味する。 $\beta$  がある程度大きいと、温度が下がると粘性率が高くなり、熱輸送効率が低下する。このため、マントル対流は、発熱量と熱輸送量がバランスするように温度を調節する働きを持っている。これらの式のほか、 $\Delta T_{sur}$  と  $\Delta T_{CMB}$  とを  $\bar{T}$  に結びつける関係式、および、 $H_{man}$  と  $H_{coren}$  を計算する式があればマントルと核の温度を計算することができる。

\*<sup>1</sup> ここで、パラメータ化にヌッセルト数  $Nu$  ではなく  $\delta$  を使うのは地球が球状であることを考慮するためである。内部加熱のない粘性率一定の球殻内のマントル対流では上面・下面とも  $\delta$  は同じ大きさになる。これは、isentropic core 内の渦度がラプラス方程式に従うことから来ている。

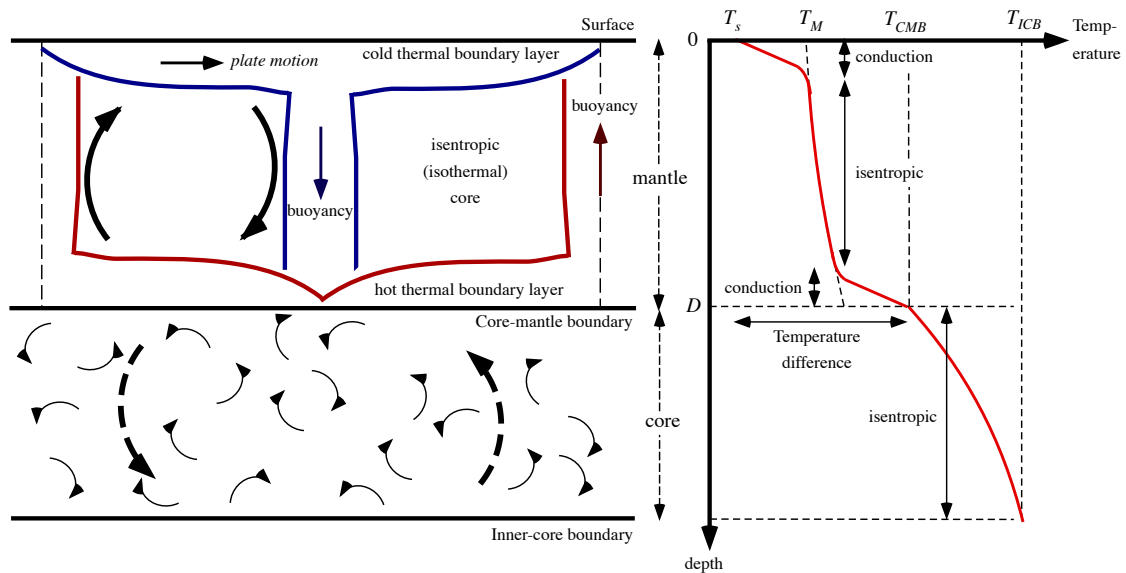


図2 地球の温度構造

## 2. パラメータ化対流モデルの数値解法

熱収支を表す式は時間の方向に関係なく解くことができる。つまり、過去から現在に向かう方向でも、現在から過去へさかのぼる方向でも計算できる。前者の場合は地球が始まったときの温度を与えて現在までの温度を解くことになり、後者の場合は現在の温度を与えて過去の温度を解くことになる。前者のような問題を初期値問題、後者のような問題を終端値問題という。

### 2.1 オイラー法による解法

実際の計算は、解析的に、すなわち、「紙と鉛筆を用いて」行うことはできない。このため、コンピュータを使用して数値的に解くことになる。ここでは、現在の値を与えて過去の温度を解く場合を考えてみよう。温度の時間変化は2つの常微分方程式(1)(2)で表されているが、式(1)に注目する。左辺の微分を時間差 $\Delta t$ での有限差分で置き換えて、

$$\frac{d\bar{T}_{man}}{dt} = \frac{\Delta\bar{T}_{man}}{\Delta t} = \frac{\bar{T}_{man}^n - \bar{T}_{man}^{n-1}}{\Delta t} \quad (8)$$

とする。ここで、 $\bar{T}_{man}^n$  は計算している時間ステップ $t$ でのマンツルの温度 $\bar{T}_{man}(t)$ を表し、

$\bar{T}_{man}^{n-1}$  は1つ過去の時間ステップで $t-\Delta t$ の温度 $\bar{T}_{man}(t-\Delta t)$ を表す。

$Q_{sur}, Q_{CMB}$  → 温度が決まると計算される量

$H_{man}$  → 時間で決まる量

であるが、時間 $t$ での値、たとえば、 $Q_{sur}(t)$ とする。そうすると式(1)は

$$M_{man} C_{man} \frac{\bar{T}_{man}^n - \bar{T}_{man}^{n-1}}{\Delta t} = -Q_{sur}^n + Q_{CMB}^n + H_{man}^n \quad (9)$$

ここでも上付き添え字 $n$ は時間ステップ $t$ での値を表す。式(9)は

$$\bar{T}_{man}^{n-1} = \bar{T}_{man}^n + \frac{\Delta t}{M_{man} C_{man}} (Q_{sur}^n - Q_{CMB}^n - H_{man}^n) \quad (10)$$

と変形できる。この式はタイムステップ $n$ に対する温度の漸化式となっていて、右辺の値は既知となっている。このため、終端の値 $\bar{T}_{man}^{present}$ が分かれば過去すべての時間での値を計算できる。このような解き方をオイラー法 (Euler method) という。

### 2.2 ルンゲ・クッタ法

オイラー法は1次精度と打ち切り誤差が大きいので、より高次の打ち切り誤差を持つ

方法が望ましい。しかし、式(1)(2)の右辺にある熱流量  $Q$  は温度  $T$  の非線型な関数である。つまり、未来の  $Q$  は計算するのは難しい。このため、クランク・ニコルソン法のような陰解法によって精度を上げることができない。このため、 $Q$  の予測値を作って仮の  $T$  を計算し、さらに  $Q$  に修正を加えることによって精度を上げる方法がとられる。つまり、行きつ戻りつ計算するのである。このような方法は予測子・修正子法とよばれる。

ここでは、時間が過去から未来方向へ進むとする。予測子ステップはオイラー法で計算する。つまり、

$$k_1 = -Q_{sur}^n + Q_{CMB}^n + H_{man}^n \quad (11)$$

$$M_{man} C_{man} \frac{\tilde{T}_{man}^{n+1} - \bar{T}_{man}^n}{\Delta t} = k_1 \quad (12)$$

で計算される値  $\tilde{T}_{man}^{n+1}$  を予測子とする。このあと、これを用いて

$$\tilde{Q}_{sur}^{n+1} = Q_{sur}(\tilde{T}_{man}^{n+1}, \tilde{T}_{core}^{n+1}) \quad (13)$$

$$\tilde{Q}_{CMB}^{n+1} = Q_{CMB}(\tilde{T}_{man}^{n+1}, \tilde{T}_{core}^{n+1}) \quad (14)$$

を計算した後、修正子ステップとして

$$k_2 = -\tilde{Q}_{sur}^{n+1} + \tilde{Q}_{CMB}^{n+1} + H_{man}^{n+1} \quad (15)$$

$$M_{man} C_{man} \frac{\bar{T}_{man}^{n+1} - \bar{T}_{man}^n}{\Delta t} = \frac{1}{2}(k_1 + k_2) \quad (16)$$

のように計算される。この方法は2次の打ち切り誤差を持つ。

1つのタイムステップの途中も使って修正を加えるとより高次の打ち切り誤差を持つ方法を作ることができる。このような方法をルンゲ・クッタ法 (Runge-Kutta method) とよぶ。予測子・修正子法は2次の精度を持つルンゲ・クッタ法ということが出来る。連立常微分方程式を解くのに最もよく用いられる4次ルンゲ・クッタ法では、途中2つの中間ステップを用いて

$$M_{man} C_{man} \frac{\tilde{T}_{man}^{n+1/2} - \bar{T}_{man}^n}{\Delta t/2} = k_1 \quad (17)$$

$$\tilde{Q}_{sur}^{n+1/2} = Q_{sur}(\tilde{T}_{man}^{n+1/2}, \tilde{T}_{core}^{n+1/2}) \quad (18)$$

$$\tilde{Q}_{CMB}^{n+1/2} = Q_{CMB}(\tilde{T}_{man}^{n+1/2}, \tilde{T}_{core}^{n+1/2}) \quad (19)$$

$$k_2 = \tilde{Q}_{sur}^{n+1/2} + \tilde{Q}_{CMB}^{n+1/2} + H_{man}^{n+1/2} \quad (20)$$

$$M_{man} C_{man} \frac{\hat{T}_{man}^{n+1/2} - \bar{T}_{man}^n}{\Delta t/2} = k_2 \quad (21)$$

$$\hat{Q}_{sur}^{n+1/2} = Q_{sur}(\hat{T}_{man}^{n+1/2}, \hat{T}_{core}^{n+1/2}) \quad (22)$$

$$\hat{Q}_{CMB}^{n+1} = Q_{CMB}(\hat{T}_{man}^{n+1/2}, \hat{T}_{core}^{n+1/2}) \quad (23)$$

$$k_3 = \hat{Q}_{sur}^{n+1/2} + \hat{Q}_{CMB}^{n+1/2} + H_{man}^{n+1/2} \quad (24)$$

$$M_{man} C_{man} \frac{\hat{T}_{man}^{n+1} - T_{man}^n}{\Delta t} = k_3 \quad (25)$$

$$\hat{Q}_{sur}^{n+1} = Q_{sur}(\hat{T}_{man}^{n+1}, \hat{T}_{core}^{n+1}) \quad (26)$$

$$\hat{Q}_{CMB}^{n+1} = Q_{CMB}(\hat{T}_{man}^{n+1}, \hat{T}_{core}^{n+1}) \quad (27)$$

$$k_4 = \hat{Q}_{sur}^{n+1} + \hat{Q}_{CMB}^{n+1} + H_{man}^{n+1} \quad (28)$$

$$M_{man} C_{man} \frac{T_{man}^{n+1} - T_{man}^n}{\Delta t} = \frac{1}{6}(k_1 + 2k_2 + 2k_3 + k_4) \quad (29)$$

と計算する。途中の導関数の重みの割合 1,4=2+2, 1 がシン普森法と同じになっている。  
これから説明するプログラムでもルンゲ・クッタ法を利用して解いている。

### 3. 地球の冷却の数値シミュレーション

数値シミュレーションを行うには、プログラムの開発が必要である。以下は、開発したプログラムのパーツ(サブルーチン等)が何をするためのものであるかの説明である。

#### 3.1 数値シミュレーションプログラムの概要

プログラムを解凍すると Thermal\_History というディレクトリができる。プログラムは Fortran90 の自由形式で書かれている。Fortran90 は最初の高級言語である FORTRAN を拡張したもので、数値計算のプログラムを開発するのに向いた言語である。プログラムの名前はすべて th\_ で始まるようになっていて、.f90 という拡張子がついている。プログラムは1つのメインプログラムと複数のサブルーチン・プログラム、モジュール・プログラムからなっている。

th_RKF_Core.f90	核の温度 $\bar{T}_{core}$ の式(2)をルンゲ・クッタ法で計算する
th_RKF_Man.f90	マンツルの温度 $\bar{T}_{man}$ の式(1)をルンゲ・クッタ法で計算する
th_Tmp_fact_C.f90	核の表面温度 $T_{CMB}$ から平均温度 $\bar{T}_{core}$ を計算するための係数を計算する
th_Tmp_fact_M.f90	マンツルのポテンシャル温度 (プレート下の温度) から平均温度 $\bar{T}_{man}$ を計算するための係数を計算する
th_add_physp.f90	マンツルの体積などの物理パラメータを計算する
th_cal_ICB_Tmp.f90	内核・外核境界の温度を計算する
th_cal_ICB_radi.f90	内核・外核境界の半径を計算する
th_cal_ICB_rho.f90	内核・外核境界の密度を計算する
th_cal_IC_grate.f90	内核半径の温度に対する微分係数を計算する
th_cal_Qint.f90	マンツルの放射性元素による加熱量 $H_{man}$ を計算する
th_cal_Ra.f90	マンツル対流のレイリー数 $Ra$ を計算する
th_cal_Tp_D.f90	核・マンツル境界上のマンツルの温度を計算する
th_cal_heatf.f90	$Ra$ から地表と CMB の熱流量 $Q_{sur}$ , $Q_{CMB}$ を計算する
th_cal_visc.f90	マンツルの粘性率を平均温度から計算する
th_main.f90	メインプログラム。サブルーチンを次々に呼び出し、時間進行を制御する
th_mod_cswitch.f90	スイッチに使う共通変数を宣言 (モジュール)
th_mod_thermp.f90	熱状態に関する物理量を入れる共通変数を宣言 (モジュール)
th_mod_variables.f90	時間変化する値を入れる共通変数を宣言 (モジュール)

th_set_Ra_Nu.f90	式(7)の $B$ を現在の熱流量の観測に合う値に調節する
th_set_TmLt_C.f90	核の融点を計算する
th_set_cswitch.f90	th_cswitch.data を読み、プログラムの制御スイッチを セットする
th_set_physp.f90	th_phys_para.data を読み、マンツルの物性などの物理量を セットする
th_set_therm_cond.f90	th_therm_para.data を読み、終端温度など熱状態に関する 物理量セットする

プログラムを動かすデータは3つで、その名前は th\_ で始まり、 .data で終わる。

th_cswitch.data	プログラムの制御スイッチ
th_phys_para.data	マンツルの物性などの物理量
th_therm_para.data	終端温度など熱状態に関する物理量

### 3.2 プログラムの実行

プログラムを開発した後は、プログラムを実行し、結果を何らかの形で図示する。プログラムを実行するためには、まず、実行形式ファイル (executable file) に変換する。

(1) ログインしたら端末を開く。

左上のアプリケーションメニュー→システム→端末

(2) ファイルをダウンロードして適当なディレクトリーにコピーして、解凍する。

```
tar xvf Thermal_History.tar
```

(3) ディレクトリ Thermal\_History に移動する。

```
cd Thermal_History
```

(4) make コマンドを使ってプログラムをコンパイルする。コンパイルする際の順序などの手順は Makefile というファイルの中に書かれている

```
make
```



```

snowqueen:/home/nakakuki/Thermal_History(75)> ls
Makefile          th_cal_IC_grate.f90  th_mod_thermp.f90
dout1             th_cal_Qint.f90     th_mod_variables.f90
th_RKF_Core.f90  th_cal_Ra.f90       th_phys_para.data
th_RKF_Man.f90   th_cal_Tp_D.f90     th_set_Ra_Nu.f90
th_Tmp_fact_C.f90 th_cal_heatf.f90    th_set_Tmlt_C.f90
th_Tmp_fact_M.f90 th_cal_visc.f90     th_set_cswitch.f90
th_add_physp.f90 th_cswitch.data     th_set_physp.f90
th_cal_ICB_Tmp.f90 th_main.f90         th_set_therm_cond.f90
th_cal_ICB_radi.f90 th_mod_cswitch.f90  th_therm_para.data
th_cal_ICB_rho.f90 th_mod_physp.f90
snowqueen:/home/nakakuki/Thermal_History(76)> make

```

図3 プログラムとコンパイル

(5) コンパイルされると `th.out` という名前の実行形式ファイルができていますのでこれを確認する。

```
ls
```

(6) プログラムを実行する

```
./th.out >& dout1 &
```

ここで、画面の出力を `dout1` というファイルのリダイレクションしている。最後の“&”はバックグラウンド実行の意味である。

```

_set_physp.o th_set_Ra_Nu.o th_set_therm_cond.o
snowqueen:/home/nakakuki/Thermal_History(77)> ls
Makefile          th_cal_ICB_radi.o  th_mod_cswitch.o
dout1             th_cal_ICB_rho.f90 th_mod_physp.f90
mod_cswitch.mod   th_cal_ICB_rho.o   th_mod_physp.o
mod_physp.mod     th_cal_IC_grate.f90 th_mod_thermp.f90
mod_thermp.mod    th_cal_IC_grate.o  th_mod_thermp.o
th.out*          th_cal_Qint.f90    th_mod_variables.f90
th_RKF_Core.f90  th_cal_Qint.o      th_phys_para.data
th_RKF_Core.o    th_cal_Ra.f90     th_set_Ra_Nu.f90
th_RKF_Man.f90   th_cal_Ra.o        th_set_Ra_Nu.o
th_RKF_Man.o     th_cal_Tp_D.f90    th_set_Tmlt_C.f90
th_Tmp_fact_C.f90 th_cal_Tp_D.o      th_set_Tmlt_C.o
th_Tmp_fact_C.o  th_cal_heatf.f90   th_set_cswitch.f90
th_Tmp_fact_M.f90 th_cal_heatf.o     th_set_cswitch.o
th_Tmp_fact_M.o  th_cal_visc.f90    th_set_physp.f90
th_add_physp.f90 th_cal_visc.o      th_set_physp.o
th_add_physp.o   th_cswitch.data    th_set_therm_cond.f90
th_cal_ICB_Tmp.f90 th_main.f90        th_set_therm_cond.o
th_cal_ICB_Tmp.o th_main.o          th_therm_para.data
th_cal_ICB_radi.f90 th_mod_cswitch.f90
snowqueen:/home/nakakuki/Thermal_History(78)> ./th.out >& dout1 &
[1] 26720
snowqueen:/home/nakakuki/Thermal_History(79)>

```

図4 プログラムの実行

### 3.3 結果の確認と可視化

計算結果は以下の3つのファイルに出力される。

Heat_evo.data	熱流量や発熱量
RaNu_evo.data	レイリー数とヌッセルト数 (熱流量を無次元化した量)
Tmp_evo.data	マントル・核の平均温度, ポテンシャル温度, 内核半径など

それぞれのファイルは行ごとに、タイムステップ・時間 (単位 10 億年)・温度などのデータとなっている。

```

Terminal
ファイル(F) 編集(E) 表示(V) 検索(S) 端末(T) ヘルプ(H)
0 4.499999999999999 1719.282355719734 4496.5814264413114 1300.0000000000000 2464.1063657759585 3764.0000000000000 5471.1124856327230 1230.0000000000000
1 4.499999999999999 1719.287001812399 4496.5829468364160 1300.0036676888811 2464.1127457254688 3764.0012862691886 5471.1269168817998 1229.9738271908289
2 4.499999999999999 1719.2914644412442 4496.5844656922339 1300.0073354498546 2464.1191278435699 3764.0025725897698 5471.1415486502624 1229.9468524598827
3 4.499999999999999 1719.2962919619982 4496.5859594888333 1300.0110835847048 2464.1255101138148 3764.0038589617725 5471.1552912287181 1229.9198758685984
4 4.499999999999999 1719.3009375934814 4496.5875851861686 1300.0146712478120 2464.1318925362861 3764.0051453851961 5471.1702145372183 1229.8928972389970
5 4.499999999999999 1719.305583557218 4496.5892387424221 1300.0183392785615 2464.1382751187512 3764.0064318888457 5471.1846485738878 1229.8651167374817
6 4.499999999999999 1719.3102291887151 4496.5185449238852 1300.0220783965515 2464.1446578374548 3764.0077183863273 5471.1989833447826 1229.8381349197555
7 4.499999999999999 1719.3148751524650 4496.5128648269971 1300.0256756817973 2464.1510487163219 3764.0090049648471 5471.2135188448279 1229.8111498796232
8 4.499999999999999 1719.3195212267534 4496.5155849638858 1300.0293458948694 2464.1574237473578 3764.0102915932187 5471.2279558736886 1229.7841651678380
9 4.499999999999999 1719.3241674123581 4496.5181849642554 1300.033012759352 2464.1638093865077 3764.0115792338239 5471.242328538896 1229.75715386659
10 4.499999999999999 1719.3288137882927 4496.5166251262155 1300.0366887428377 2464.1701982659578 3764.0128658858892 5471.2568297246287 1229.7301854218681
11 4.499999999999999 1719.3334611518717 4496.5181453289717 1300.040359288993 2464.1765737535297 3764.0141571894235 5471.2712681688808 1229.7031933892545
12 4.499999999999999 1719.3381086326972 4496.5196655925312 1300.0440179468238 2464.182957392892 3764.0154382642412 5471.2857872882678 1229.6761994827649
13 4.499999999999999 1719.3427521618667 4496.5211859189014 1300.0476866718135 2464.1893411852587 3764.0167255188892 5471.3001471813477 1229.649285551421
14 4.499999999999999 1719.347400882193 4496.5227863828886 1300.051354886718 2464.1957251284884 3764.0180124488425 5471.3145877355375 1229.622285471462
15 4.499999999999999 1719.352046581588 4496.5242724818800 1300.0550243938817 2464.2021092257714 3764.0192994382774 5471.3290291484228 1229.5952868174895
16 4.499999999999999 1719.356693188891 4496.5257472549431 1300.0586933864858 2464.2084934743443 3764.0205864792858 5471.3434712166854 1229.568284627841
17 4.499999999999999 1719.3613408247480 4496.5272678226248 1300.0623624664877 2464.2148778751354 3764.0218735716262 5471.3579148239881 1229.5412881627281
18 4.499999999999999 1719.3659888647372 4496.5287884511510 1300.0660316348498 2464.2212624281428 3764.0231687155524 5471.3723575627864 1229.514195271653
19 4.499999999999999 1719.3706353578623 4496.5303091485296 1300.0697088898952 2464.2276471333785 3764.0244479188878 5471.3868818327994 1229.4871878457636
20 4.499999999999999 1719.3752821671934 4496.5318298887879 1300.0733823162272 2464.2340319888449 3764.0257351579367 5471.4012468543865 1229.4601786881968
21 4.499999999999999 1719.3799387655342 4496.5333587818724 1300.0770596616488 2464.2404178885484 3764.0270224564865 5471.4156925875738 1229.4331672842135
22 4.499999999999999 1719.3845779828885 4496.5348715738493 1300.0807891791626 2464.2468021624932 3764.0283098864819 5471.4301388523244 1229.4061539935582

```

図5 Tmp\_evo.data の中身

さらにもう1つのデータは、以下のようなものである。

add_phys_para.data	入力した物理量から計算される付加的な物理量
--------------------	-----------------------

データを見ただけではわかりにくいので、結果をグラフに表してみよう。計算結果を何らかの図に表すことを可視化という。グラフに表すには `gnuplot` というソフトウェアを用いると簡単である。ここでは、温度と内核の半径の時間変化をグラフ化してみよう。温度はというファイルに入っている。データは図2のようになっており、左から、

タイムステップ 時間マントル平均温度 核平均温度 マントルポテンシャル温度  
 CMB\*マントル側温度 CMB 核側温度 ICB\*\*温度 内核半径

\* CMB: 核・マントル境界

\*\* ICB: 内核・外核境界

となっている。まず、マントル・核の平均温度と内核半径をグラフにしてみる。手順は

次の通りである。

(1) gnuplot を起動する。

```
gnuplot
```

と入力するとプロンプトが gnuplot が起動して gnuplot のコマンド入力待ちになる。

```
snowqueen:/home/nakakuki/Thermal_History(61)> gnuplot

G N U P L O T
Version 4.6 patchlevel 2   last modified 2013-03-14
Build System: Linux x86_64

Copyright (C) 1986-1993, 1998, 2004, 2007-2013
Thomas Williams, Colin Kelley and many others

gnuplot home:      http://www.gnuplot.info
faq, bugs, etc:   type "help FAQ"
immediate help:   type "help" (plot window: hit 'h')

Terminal type set to 'x11'
gnuplot>
```

図6 gnuplot の起動

(2) プロットのコマンドを入力してマンツルの平均温度を描く。

```
plot 'Tmp_evo.data' using 2:3 with line
```

そうすると別ウィンドウが開いてグラフが現れる。

```
gnuplot home:      http://www.gnuplot.info
faq, bugs, etc:   type "help FAQ"
immediate help:   type "help" (plot window: hit 'h')

Terminal type set to 'x11'
gnuplot> plot 'Tmp_evo.data' using 2:3 with line
gnuplot> replot 'Tmp_evo.data' using 2:4 with line
gnuplot> replot 'Tmp_evo.data' using 2:9 with line
gnuplot>
```

図7 plot コマンドの入力

(3) 再プロットのコマンドを入力して核の平均温度と内核半径を描く。

```
replot 'Tmp_evo.data' using 2:4 with line
```

```
replot 'Tmp_evo.data' using 2:9 with line
```

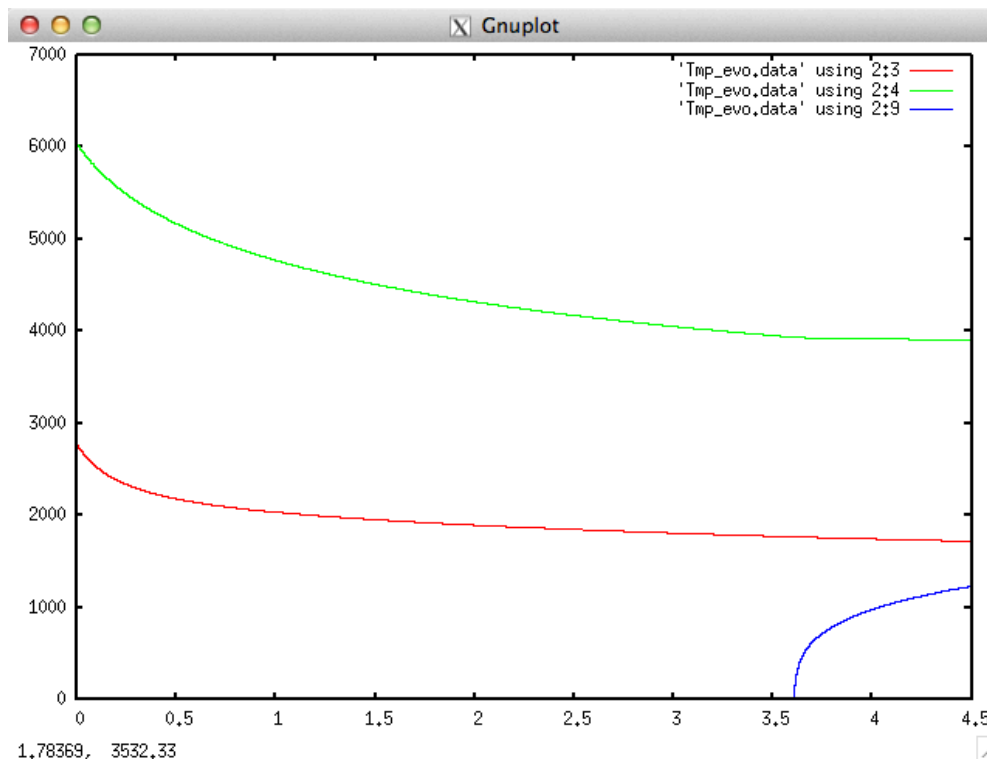


図8 得られたグラフ

(4) 画面キャプチャソフトウェアを起動して、作成したグラフのスクリーンショットを取得する

- (i) 左上のアプリケーションメニュー→アクセサリ  
→「スクリーンショットの取得」を起動
- (ii) 「現在のウィンドウ」を選ぶ
- (iii) 「取得するまでの待ち時間」を1秒以上にする
- (iv) グラフのウィンドウが最前面にあることを確認する
- (v) 「スクリーンショットの取得」を押す

(5) gnuplot を終了する

quit

**問題1** マントルポテンシャル温度と CMB の温度（マントル側と核側）の温度をプロットしたグラフを作成せよ。

### 3.4 パラメータの変更

ここでは核の温度を変更してその影響を調べてみよう。核の温度を変更するには

th\_therm\_para.data を編集して値を変更しなければならない。

新しい計算を実行する前に今計算した結果を残しておこう。それには、次のような手順でデータを別のディレクトリにコピーする。

```
(1) mkdir model-20180810-01
```

```
(2) cp -p *.data model-20180810-01
```

ノートには model-20180810-01 がどのような計算か分かるような記録を残しておこう。

データを編集するには、エディタ gedit を用いる。gedit を起動するには

```
gedit th_therm_para.data &
```

と入力する。そうすると図9のようなウィンドウが開く。

核の温度を変更するには

```
'# (8) Reference or terminal temperature of the CMB [deg C] -> [K]'
```

```
3264.0d0
```

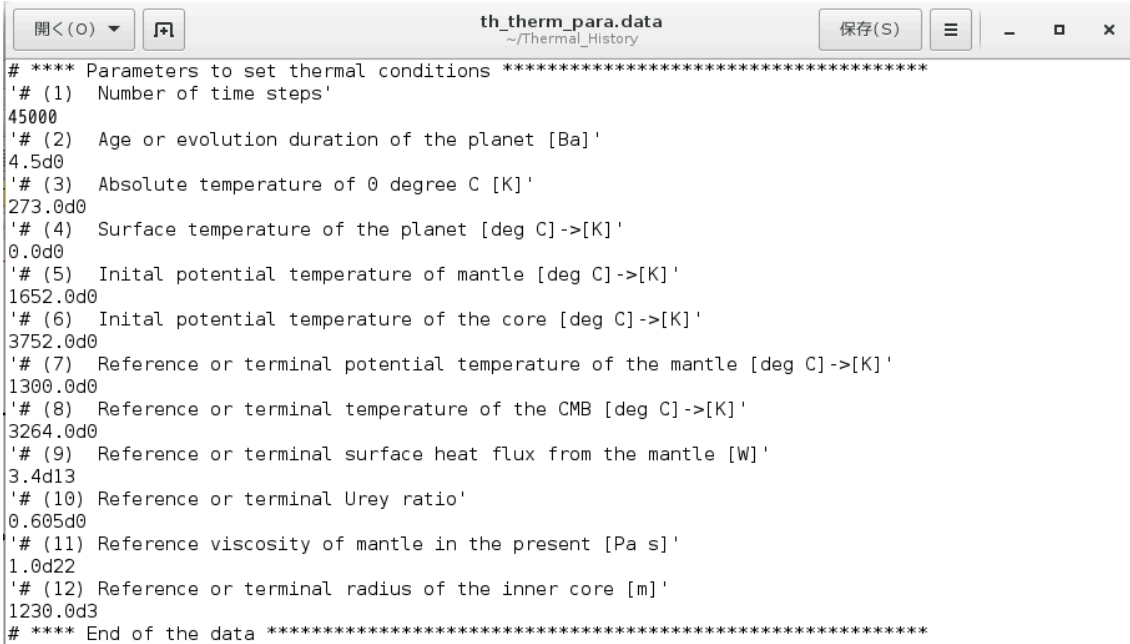
にある数字 3264.0d0 を変更する。この数値は現在の核・マントル境界の温度を与えている (計算が現在から過去に向かっていることを思い出しておこう)。200°C 下げて 3064.0d0 にしてみよう。さらに、

```
'# (8) Reference or terminal Urey ratio'
```

```
0.605
```

を 0.655d0 に変更する。これは核の温度を下げることで核からの熱流量を減らす分、マントル内の放射性元素の加熱を増やしていることを意味している。

変更したら右上にある「保存(s)」ボタンを押して変更したデータを保存する。保存したあと、プログラムを実行すれば計算結果を得られる。



```
# **** Parameters to set thermal conditions ****
'# (1) Number of time steps'
45000
'# (2) Age or evolution duration of the planet [Ba]'
4.5d0
'# (3) Absolute temperature of 0 degree C [K]'
273.0d0
'# (4) Surface temperature of the planet [deg C]->[K]'
0.0d0
'# (5) Inital potential temperature of mantle [deg C]->[K]'
1652.0d0
'# (6) Inital potential temperature of the core [deg C]->[K]'
3752.0d0
'# (7) Reference or terminal potential temperature of the mantle [deg C]->[K]'
1300.0d0
'# (8) Reference or terminal temperature of the CMB [deg C]->[K]'
3264.0d0
'# (9) Reference or terminal surface heat flux from the mantle [W]'
3.4d13
'# (10) Reference or terminal Urey ratio'
0.605d0
'# (11) Reference viscosity of mantle in the present [Pa s]'
1.0d22
'# (12) Reference or terminal radius of the inner core [m]'
1230.0d3
# **** End of the data ****
```

図9 th\_therm\_para.data の内容

**問題2** プログラムを実行して、結果を図示せよ。現在の核の温度が低いと仮定したことが、結果にどのような影響を与えたのか考察せよ。

### 参考文献

U. R. Christensen, Thermal evolution models for the Earth, *Journal of Geophysical Research*, vol. **94**, no. B4, 2995-3007, 1985.

D. J. Stevenson, T. Spohn, and G. Schubert, Magnetism and thermal evolution of the terrestrial planets, *Icarus*, vol. **54**, issue 3, 466-489, 1983.

## 4. 熱史シミュレーションプログラムで用いた基礎方程式

### 4.1 熱収支の式

#### ・マントルの熱収支の式

$$C_{Man} \frac{d\bar{T}_{Man}}{dt} = H - Q_{sur} + Q_{CMB} \quad (41)$$

#### ・核の熱収支の式

$$C_{Core} \frac{d\bar{T}_{Core}}{dt} = -Q_{CMB} + H_{IC} \quad (42)$$

#### ・地表の熱流量

$$Q_{sur} = S_{sur} Nu_0 k \frac{T_{PM} - T_0}{h} \quad (43)$$

#### ・核・マントル境界の熱流量

$$Q_{CMB} = S_{CMB} Nu_0 k \frac{T_{CMB} - T_{D'}}{h} \quad (44)$$

#### ・Nusselt 数

$$Nu_0 = c Ra_0^\beta \quad (45)$$

ここで、係数  $c$  の値は現在の粘性率からレイリー数を計算したときに、熱流量が合うように決めている。

#### ・レイリー数

$$Ra_0 = \frac{\rho_0 \alpha_M [(T_{PM} - T_0) + (T_{CMB} - T_{D'})] gh^3}{\eta \kappa} \quad (46)$$

温度差は地表および核マントル境界でのポテンシャル温度からの差を合わせた値である。

#### ・粘性率

$$\eta = A \exp \left[ \frac{H}{R \bar{T}_{Man}} \right] \quad (47)$$

係数  $A$  は粘性率の平均の取り方によって変化させる。

#### 4.2 マントルの温度分布・平均温度とポテンシャル温度の変換係数

断熱温度勾配の式

$$\frac{dT_M}{dr} = - \frac{\alpha g_0 T_M}{C_{pM}} \quad (51)$$

より決定する。

##### ・熱膨張率一定の場合の温度分布

$$T_M(r) = T_{PM} \exp \left[ \frac{\alpha_M g_0 (R_0 - r)}{C_{pM}} \right] \quad (52)$$

核・マントル境界上では

$$T_{D'} = T_{PM} \exp \left[ \frac{\alpha_M g (R_0 - R_{CMB})}{C_{pM}} \right] \quad (53)$$

##### ・温度勾配一定の場合の温度分布

$$T_M(r) = T_{PM} + T_{PM} \frac{\alpha g}{C_{pM}} (R_0 - r) \quad (54)$$

マントルの平均温度とポテンシャル温度の変換係数は

$$T_{PM} = \Theta_{Man} \bar{T}_{Man} \quad (55)$$

とにおいて  $\Theta_{Man}$  を求める。平均温度は

$$\bar{T}_{Man} = \frac{1}{V_{Man}} \int_{R_{CMB}}^{R_0} T_M(r) S(r) dr \quad (56)$$

である。熱膨張率一定のときは

$$\bar{T}_{Man} = \frac{4\pi}{V_{man}} T_{PM} \exp \left[ \frac{\alpha g}{C_{pM}} R_0 \right] \cdot \left[ \left\{ R_{CMB}^2 \left( \frac{C_{pM}}{\alpha g} \right) + 2 R_{CMB} \left( \frac{C_{pM}}{\alpha g} \right) + 2 \left( \frac{C_{pM}}{\alpha g} \right)^3 \right\} \exp \left[ - \frac{\alpha g}{C_{pM}} R_{CMB} \right] \right]$$



$$-\left\{R_0^2\left(\frac{C_{pM}}{\alpha g}\right)+2R_0\left(\frac{C_{pM}}{\alpha g}\right)^2+2\left(\frac{C_{pM}}{\alpha g}\right)^3\right\}\exp\left[-\frac{\alpha g}{C_{pM}}R_0\right] \quad (57)$$

であり、温度勾配一定のときは

$$\bar{T}(t) = T_p \left[ 1 + \frac{\alpha g}{C_{pM}} R_0 - \frac{3}{4} \frac{\alpha g}{C_{pM}} \frac{(R_0^4 - R_{CMB}^4)}{(R_0^3 - R_{CMB}^3)} \right] \quad (58)$$

となる。

#### ・熱膨張率一定の場合の変換係数

$$\begin{aligned} \Theta_{Man} &= \frac{V_{man}}{4\pi} \exp\left[-\frac{\alpha g R}{C_p}\right] \\ &\div \left[ \left\{ R_{CMB}^2 \left( \frac{C_{pM}}{\alpha g} \right) + 2R_{CMB} \left( \frac{C_{pM}}{\alpha g} \right)^2 + 2 \left( \frac{C_{pM}}{\alpha g} \right)^3 \right\} \exp\left[-\frac{\alpha g}{C_p} R_{CMB}\right] \right. \\ &\quad \left. - \left\{ R_0^2 \left( \frac{C_{pM}}{\alpha g} \right) + 2R_0 \left( \frac{C_{pM}}{\alpha g} \right)^2 + 2 \left( \frac{C_{pM}}{\alpha g} \right)^3 \right\} \exp\left[-\frac{\alpha g}{C_{pM}} R_0\right] \right] \quad (59) \end{aligned}$$

#### ・温度勾配一定の場合の変換係数

$$\Theta_{Man} = 1 / \left[ 1 + \frac{\alpha g}{C_{pM}} R_0 - \frac{3}{4} \frac{\alpha g}{C_{pM}} \frac{(R_0^4 - R_{CMB}^4)}{(R_0^3 - R_{CMB}^3)} \right] \quad (60)$$

### 4.3 核の温度分布・平均温度とポテンシャル温度の変換係数

#### ・核の温度分布

$$T_C(r) = T_{CMB} \exp\left[ \frac{1}{2} \frac{\alpha g_0}{C_p} \left( \frac{R_{CMB}^2 - r^2}{R_{CMB}} \right) \right] \quad (61)$$

積分すると核の平均温度とポテンシャル温度の変換係数

$$\bar{T}_{Core} = \frac{4\pi T_{CMB}}{V_C} \exp\left[ \frac{1}{2} \frac{\alpha g_0}{C_p} R_{CMB} \right] \int_0^{R_{CMB}} r^2 \exp\left[ -\frac{1}{2} \frac{\alpha g_0}{C_p} \frac{r^2}{R_{CMB}} \right] dr \quad (62)$$

が得られる。この式と式(71)を用いて変換係数が求められる。

・核の平均温度とポテンシャル温度の変換係数

$$\Theta_{Core} = \frac{V_C}{4\pi} \exp\left[-\frac{1}{2} \frac{\alpha g_0}{C_p} R_{CMB}\right] \int_0^{R_{CMB}} r^2 \exp\left[-\frac{1}{2} \frac{\alpha g_0}{C_p} \frac{r^2}{R_{CMB}}\right] dr \quad (63)$$

この積分は解析的に解けないので数値積分により求める。

#### 4.4 核の中の密度と圧力

密度は Adams-Williamson の式

$$\frac{d\rho}{dr} = -\frac{g}{\phi} z = -\frac{g}{\phi} (R_{CMB} - r) \quad (71)$$

$$g = g_0 \frac{r}{R_{CMB}} \quad (72)$$

より求める。ここで、サイズミックパラメータを一定と仮定する。すなわち、

$$\rho_C = \rho_{CMB} \exp\left[\frac{1}{2} \frac{g_0}{\phi} \left(\frac{R_{CMB}^2 - r^2}{R_{CMB}}\right)\right] \quad (73)$$

と求められる。これはとてもおおざっぱな仮定である。

・外核の密度

$$\rho_C = \rho_{CMB} \exp\left[\frac{1}{2} \frac{g_0}{\phi} R_{CMB}\right] \exp\left[-\frac{1}{2} \frac{g_0}{\phi R_{CMB}} r^2\right] \quad (74)$$

外核内部の圧力は

$$dp = -\rho_{CMB} \exp\left[\frac{1}{2} \frac{g_0}{\phi R_{CMB}} (R_{CMB}^2 - r^2)\right] \frac{g_0}{R_{CMB}} r dr \quad (75)$$

$$= -\rho_{CMB} \frac{g_0}{R_{CMB}} r \exp\left[\frac{1}{2} \frac{g_0 R_{CMB}}{\phi}\right] \exp\left[-\frac{1}{2} \frac{g_0}{\phi R_{CMB}} r^2\right] dr \quad (76)$$

を積分して

$$P_C = P_{CMB} + \int_{R_{CMB}}^r dP \quad (77)$$

ここで、

$$\int_{R_{CMB}}^r dP = -\rho_{CMB} \frac{g_0}{R_{CMB}} \exp\left[\frac{1}{2} \frac{g_0 R_{CMB}}{\phi}\right] \int_{R_{CMB}}^r r \exp\left[-\frac{1}{2} \frac{g_0}{\phi R_{CMB}} r^2\right] dr \quad (78)$$

$$= \phi(\rho_C - \rho_{CMB}) \quad (79)$$

である。

#### ・外核内部の圧力

$$P_C = P_{CMB} + \phi(\rho_C - \rho_{CMB}) \quad (80)$$

### 4.5 核の融解温度

融解温度は圧力に比例すると仮定する。つまり、

$$T_{mC} = T_{mCMB} \left( 1 + \beta \frac{P - P_{CMB}}{P_{CMB}} \right) = T_{mCMB} [1 + \beta'(P - P_{CMB})] \quad (81)$$

である。これもおおざっぱな仮定である。

#### ・核の融解温度

$$T_{mC} = T_{mCMB} \left[ 1 + \beta' \phi \left( \rho_{CMB} \exp \left[ \frac{1}{2} \frac{g_0}{\phi} R_{CMB} \right] \exp \left[ -\frac{1}{2} \frac{g_0}{\phi} \frac{r^2}{R_{CMB}} \right] - \rho_{CMB} \right) \right] \quad (82)$$

### 4.6 外核・内核境界の位置

外核・内核境界の位置は核の温度と融点が等しくなる場所である。すなわち、

$$T_{mC} = T_C \quad (91)$$

となる場所である。

#### ・外核・内核境界の半径を表す方程式

$$F(r) = C + E \exp[-Dr^2] - B \exp[-Ar^2] = 0 \quad (92)$$

ただし、

$$A = \frac{1}{2} \frac{\alpha g_0}{C_p R_{CMB}} \quad (93)$$

$$B = T_{CMB} \exp \left[ \frac{1}{2} \frac{\alpha g_0}{C_p} R_{CMB} \right] \quad (94)$$

$$C = T_{mCMB} (1 - \beta' \phi \rho_{CMB}) \quad (95)$$

$$D = \frac{1}{2} \frac{g_0}{\phi R_{CMB}} \quad (96)$$

$$E = T_{mCMB} \beta' \phi \rho_{CMB} \exp \left[ \frac{1}{2} \frac{g_0}{\phi} R_{CMB} \right] \quad (97)$$

この方程式は非線形方程式であり、解析的に解けないのでニュートン法により求める。  
すなわち、

$$F'(r) = \frac{dF}{dr} = -2DEr \exp[-Dr^2] + 2ABr \exp[-Ar^2] \quad (98)$$

$$r^{n+1} = r^n - \frac{F(r^n)}{F'(r^n)} \quad (99)$$

ここで、 $n$  は反復回数である。 $r^n$  が収束したら

$$R_{ICB} = r^n \quad (100)$$

を解とする。

#### 4.7 内核形成に伴う発熱

内核形成に伴う発熱は内核の成長率

$$\frac{dM_{IC}}{dt} = 4\pi R_{ICB} \rho_C \frac{dR_{ICB}}{dt} = 4\pi R_{ICB} \rho_C \frac{dR_{ICB}}{dT_{CMB}} \frac{dT_{CMB}}{dt} \quad (101)$$

から求められる (Stevenson et al., 1983)。ここで  $dR_{ICB}/dT_{CMB}$  は核マントル境界の温度に対する内核の成長率である。いま、

$$A = \frac{1}{2} \frac{\alpha g_0}{C_p} \frac{1}{R_{CMB}} \quad (93)$$

$$B' = \exp \left[ \frac{1}{2} \frac{\alpha g_0}{C_p} R_{CMB} \right] = \exp[AR_{CMB}^2] \quad (102)$$

$$C' = 1 - \beta' \phi \rho_{CMB} \quad (103)$$

$$E' = \rho_{CMB} \exp \left[ \frac{1}{2} \frac{g_0}{\phi} R_{CMB} \right] = \rho_{CMB} \exp[DR_{CMB}^2] \quad (96)$$

$$G = \beta' \phi \rho_{CMB} \exp[DR_{CMB}^2] = \beta' \phi E' \quad (104)$$

と置く。これらの記号を用いると、外核内の温度は、

$$T_C(r) = T_{CMB} B' \exp[-Ar^2] \quad (105)$$

と表される。一方、外核の融解温度は

$$T_{mC} = T_{mCMB} \left( C' + G \exp[-Dr^2] \right) \quad (106)$$

と表される。内核・外核境界で両者は等しい。すなわち、

$$T_C(R_{ICB}) = T_{mC}(R_{CMB}) \quad (107)$$

である。この式から CMB 温度と内核半径の関係

$$T_{CMB} B' \exp[-AR_{ICB}^2] = T_{mCMB} \left( C' + G \exp[-DR_{ICB}^2] \right) \quad (108)$$

$$T_{CMB} = B'^{-1} T_{mCMB} \left( C' + G \exp[-DR_{ICB}^2] \right) \exp[AR_{ICB}^2] \quad (109)$$

がわかる。微分すると

$$\frac{dT_{CMB}}{dR_{ICB}} = 2rB'^{-1} T_{mCMB} \left\{ AC' \exp[AR_{ICB}^2] + (A-D)G \exp[(A-D)R_{ICB}^2] \right\} \quad (110)$$

が求められる。この式から

$$\frac{dR_{ICB}}{dT_{CMB}} = \left( \frac{dT_{CMB}}{dR_{ICB}} \right)^{-1} \quad (111)$$

の値を計算できる。また CMB 温度の時間変化率  $dT_{CMB}/dt$  は

$$\frac{dT_{CMB}}{dt} = \frac{1}{\Theta_{Core}} \frac{d\bar{T}_{Core}}{dt} \quad (112)$$

である。

#### • 内核形成に伴う発熱

$$H_{IC} = (L + E_G) \frac{dM_{IC}}{dt} \quad (113)$$

ここで  $L$  は潜熱,  $E_G$  は重力エネルギーである。どちらも単位質量辺りの量である。これらの量は Stevenson et al. (1983)に従ってパラメータとして与えている。